一次元全層雪崩のシミュレーション手法に関する研究

株式会社 東京建設コンサルタント 技術第三部 学生会員〇大澤 範一 長岡技術科学大学 環境・建設系 正会員 福嶋 祐介

1.はじめに

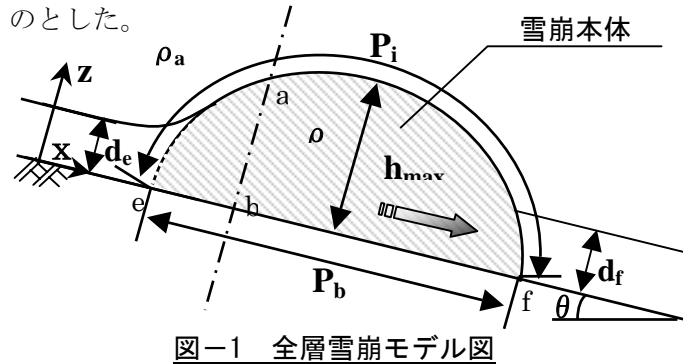
本州日本海側の豪雪地帯はその雪量にも係わらず 比較的温暖である。このため2月から3月にかけて は全層雪崩が頻発し、人家に被害を及ぼしたり道路 の閉塞を伴う被害が発生する。全層雪崩については、 剛体モデル(Nohguchi,1989)、離散ボールモデル (Nakanishi et al.,1991)、水理学的なモデル(西 村・納口,1998)などがあるが、これらのモデルの特 徴は雪崩の運動をまったく異なった運動でモデル化

本研究では雪崩の運動を流体力学の手法でモデル化し、これに伴う係数を適切に設定することで、全層雪崩の一次元流動モデルのシミュレーション手法を開発する。一次元流動モデルの特長は簡明であることにあり、この基礎方程式を検討することにより、取り込み係数、離脱係数の雪崩の流動に及ぼす影響を確認することができる。

2.数值解析手法

している点にある。

本研究では流体力学の基礎方程式を元に、これを 斜面に対して直交方向と流れ方向に積分して、全層 雪崩の基礎方程式を求めた。なお雪崩本体の形状に ついては図-1 に示すような半楕円体であると仮定 し、一定の傾斜角 θ の斜面上に一定の厚さ d の積雪 層があり、そこを最大厚さ h_{max} の雪崩が流下するも



取り込み係数,離脱係数

連絡先: 〒171-0014 東京都豊島区池袋 2-43-1 (㈱東京建設コンサルタント 技術第三部 TEL 03-3982-9281 FAX 03-5396-6754 ここで、 ρ は雪崩内の雪の密度、 ρ a は空気の密度、 d_f は雪崩前方の積雪層の厚さ、 d_e は雪崩後方の積雪層の厚さ、 P_i は雪崩の空気との界面の長さ、 P_b は雪崩底面の長さである。

雪崩内の雪濃度を C、単位幅あたりの雪崩の体積 を A、雪崩の速度を U とおくと全層雪崩の一次元解 析における基礎方程式は以下のようになる。

$$\frac{d}{dt}CA = \lambda_f C_f V_f d_f - \lambda_e C_e V_e d_e + v_s (E_s - c_b \cos \theta) P_b$$

$$\frac{d}{dt}A = \lambda_f V_f d_f - \lambda_e V_e d_e + E_a U P_i \qquad \cdot \cdot \cdot \cdot (2)$$

$$\frac{d}{dt}(\rho + \rho_a k_v)UA = -\rho_f \frac{h_f d_f}{h_f - d_f} V_f^2 + \rho_a u_a E_a U P_i$$

$$+ \rho_a RgCA(\sin\theta - \mu\cos\theta) - \rho_a Rg\cos\theta \left(\frac{1}{2}C_f d_f^2 - \frac{1}{2}C_e d_e^2\right)$$

$$-\frac{1}{2}c_{D}(\rho_{f}d_{f}+\rho_{a}(h_{\max}-d_{f}))U_{f}^{2}-\frac{1}{2}\rho_{a}f_{i}U^{2}P_{i}-\frac{1}{2}\rho_{b}f_{b}U^{2}P_{b}$$
(2)

(1)式は質量保存式、(2)式は空気の連続式、(3)式は 運動方程式であり、無次元係数 λ_f は雪の取り込み 係数、 λ_e は雪の離脱係数である。この基礎方程式 をみても明らかであるが、雪の取り込み係数 λ_f 及 び雪の離脱係数 λ_e は、全層雪崩の運動に関して非 常に重要な係数となることがわかる。

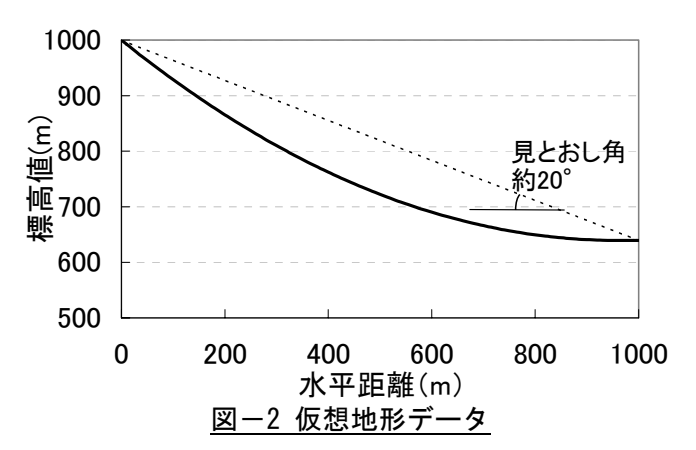
3.解析条件及び結果

全層雪崩の数値解析を行うにあたり、雪の取り込み係数 $\lambda_{\rm f}$ 及び離脱係数 $\lambda_{\rm e}$ は重要な係数となるため、これをパラメータとし、表-1に示すケースを想定し解析を行うものとした。

表-1 全層型雪崩解析条件

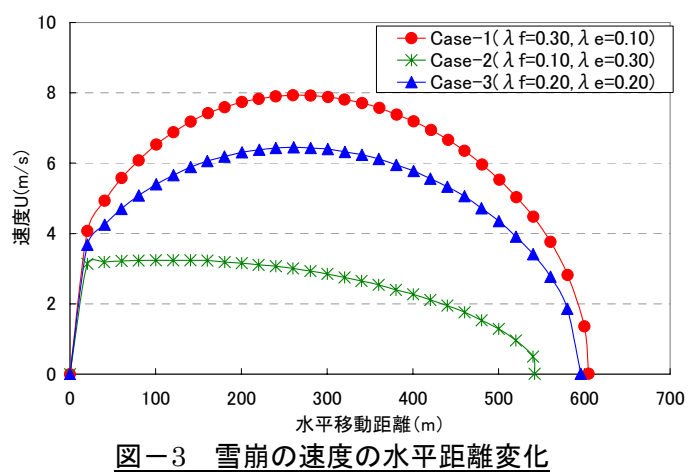
	λ f	λ e
Case-1	0. 30	0. 10
Case-2	0. 10	0. 30
Case-3	0. 20	0. 20

地形データについては実地形を用いた場合、その 幾何学的形状が複雑なことから、モデルの特性を定 量的に評価することが困難となる。したがってここ では図-2 に示すような仮想地形データを流下経路 とし、数値解析を行った。



また初期速度、初期最大高さ、初期雪濃度につい てはそれぞれ以下のように与えた。

 $U_0 = 0m/s$, $h_{\text{max }0} = 2.0m$, $C_0 = 30\%$ 以上のような初期条件を与え全層雪崩の数値解析を 実施した結果、雪崩の速度、高さ、濃度の水平距離 変化は図-3から図-5に示すようになった。



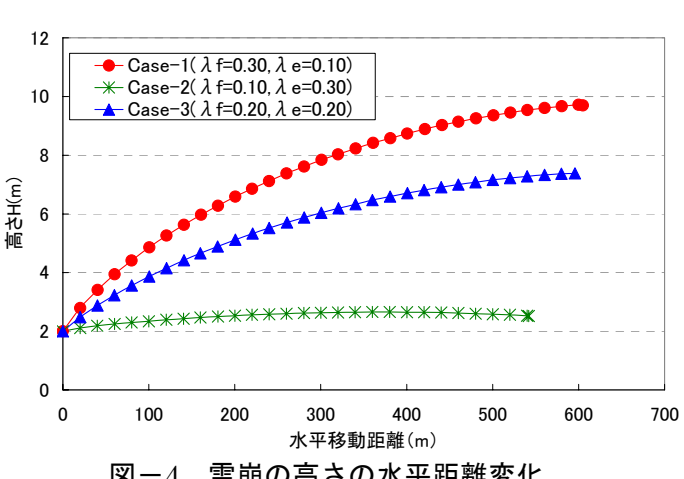
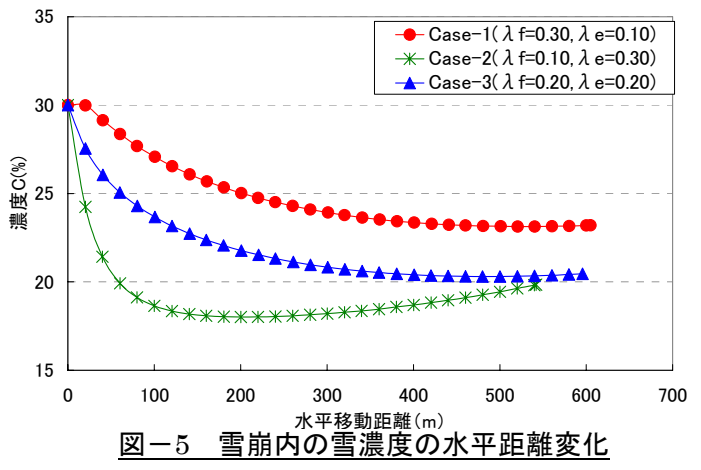


図-4 雪崩の高さの水平距離変化



4.結論

解析結果より以下のように考察できる。

- (1) 発生直後に雪崩は急激に加速する。
- (2) 雪崩は比較的緩勾配な斜面へと流入することで 急激に減速し停止に至る。
- (3) 雪崩の高さは発生直後より増加を続ける。
- (4) 雪濃度は発生より減少を続ける。これは雪の取り 込みに比べ、空気の連行が顕著であるためである。
- (5) 雪の取り込み係数が大きくなると、雪崩の高さ、 速度が大きくなり、雪濃度の減少も緩やかになる。 これは前方からの雪の取り込みが顕著になるこ とによって、雪崩内の雪量が相対的に増加し、運 動を維持又は増加させるエネルギーが大きくな るためである。
- (6) 雪の離脱係数が大きくなると、後方からの雪の離 脱が顕著になるため、速度、高さが小さくなり、 雪濃度の減少も急激になる。

本研究で提案するモデルは一次元解析モデルであ り計算は単位幅を対象とする。実際の全層雪崩の挙 動を適切に評価するには、2次元解析モデルへの拡 張が有効であると考えられる。これにより、雪崩全 体を評価することが可能となり、停止に至るプロセ スやその挙動が鮮明になると考えられる。

参考文献

大澤範一、福嶋祐介、2004: 三次元地形上の二次元 煙型雪崩の流動モデル、雪氷、66-4,473-483 福嶋祐介、1986: 粉雪雪崩の流動機構の解析、雪氷、 **48-4**.189-194.

福嶋祐介,1987: 新潟県柵口地区表層雪崩の流動解析,雪 **氷, 49-1**, 1-8.

福嶋祐介.早川典生.1992:三次元地形を考慮した粉雪雪 崩の数値解析,雪氷,54-1,11-18.